

مقایسه اسکن تمام بدن با $^{99m}\text{Tc}-\text{MDP}$ و $^{99m}\text{Tc}-\text{MIBI}$ برای تشخیص متاستازهای منتشر

دکتر مجتبی انصاری - دکتر محمد هوشیاری - دکتر سید حسین مرتضوی

بیمارستان امام حسین - بخش رادیو تراپی و پزشکی هسته ای - تابستان ۸۰

چکیده

متاستاز استخوان یکی از عوارض مهم و ناتوان کننده بیماریهای بد خیم به شمار می‌رود. از آنجاییکه طول عمر نسبی بیماران مبتلا به متاستاز استخوان عموماً زیاد است، تشخیص سریع و به موقع این ضایعات می‌تواند سبب بهبود کمی و کیفی زندگی بیمار شده و از پیشرفت کنترل نشده بیماری و بروز عوامل ناتوان کننده پیشگیری کند.

در این مطالعه ۲۲ بیمار مبتلا به سرطان بد خیم اولیه (با تشخیصهای مختلف) و علائم و نشانه‌های متاستاز در دو نوبت مورد ارزیابی قرار گرفتند. بیماران انتخاب شده یکی از پاتولوژیهای زیر را داشته‌اند:

Small Round Cell Tumor، کانسر پستان، کانسر نازوفارنکس و مولتیپل میلیوم، ابتدا اسکن استخوان $^{99m}\text{Tc}-\text{MDP}$ بوسیله ^{99m}Tc به عمل می‌آمد و بلافاصله یک هفته بعد اسکن کامل بدن با $^{99m}\text{Tc}-\text{MIBI}$ تکرار می‌شد (در این $^{99m}\text{Tc}-\text{MIBI}$ فاصله هیچ درمانی برای بیماران انجام نمی‌شد). تعداد مناطق جذب و نیز شدت جذب ضایعات در اسکن $^{99m}\text{Tc}-\text{MIBI}$ بصورت کیفی و نیز کمی ارزیابی شده و با اسکن استخوان مورد مقایسه قرار می‌گرفت. بعد از مقایسه نتایج، مشخص گردید اسکن تمام بدن با $^{99m}\text{Tc}-\text{MIBI}$ تنها در ۱۴ نفر از ۲۲ نفر مثبت شده، و در این بیماران در مجموع ۴۴٪ تعداد کل ضایعات استخوانی کشف شده در استخوان با $^{99m}\text{Tc}-\text{MDP}$ را نشان داده است (۲۴ ضایعه از ۵۴ ضایعه) که میانگین شدت جذب آن تیز حدود ۱/۵+ (خفیف تا متوسط) بود ولی در عوض در ۷ تن از بیماران که دارای اسکن مثبت بودند بعضی از ضایعات پنهان بافت نرم را نیز "عمدتاً" در نواحی گره‌های لنفاوی با میانگین شدت ۲+ (متوسط) به تصویر کشید. بنابراین به نظر می‌رسد در بررسی متاستازهای استخوانی، اسکن استخوان با $^{99m}\text{Tc}-\text{MDP}$ در مقایسه با اسکن $^{99m}\text{Tc}-\text{MIBI}$ یافته‌های بیشتری را نشان می‌دهد، در حالیکه اهمیت اسکن $^{99m}\text{Tc}-\text{MIBI}$ "عمدتاً" در کشف ضایعات بافت نرم است.

واژه‌های کلیدی: $^{99m}\text{Tc}-\text{MDP}$, $^{99m}\text{Tc}-\text{MIBI}$, متاستاز

استخوانی، متعدد بودن آنست و در توده‌های منفرد باید

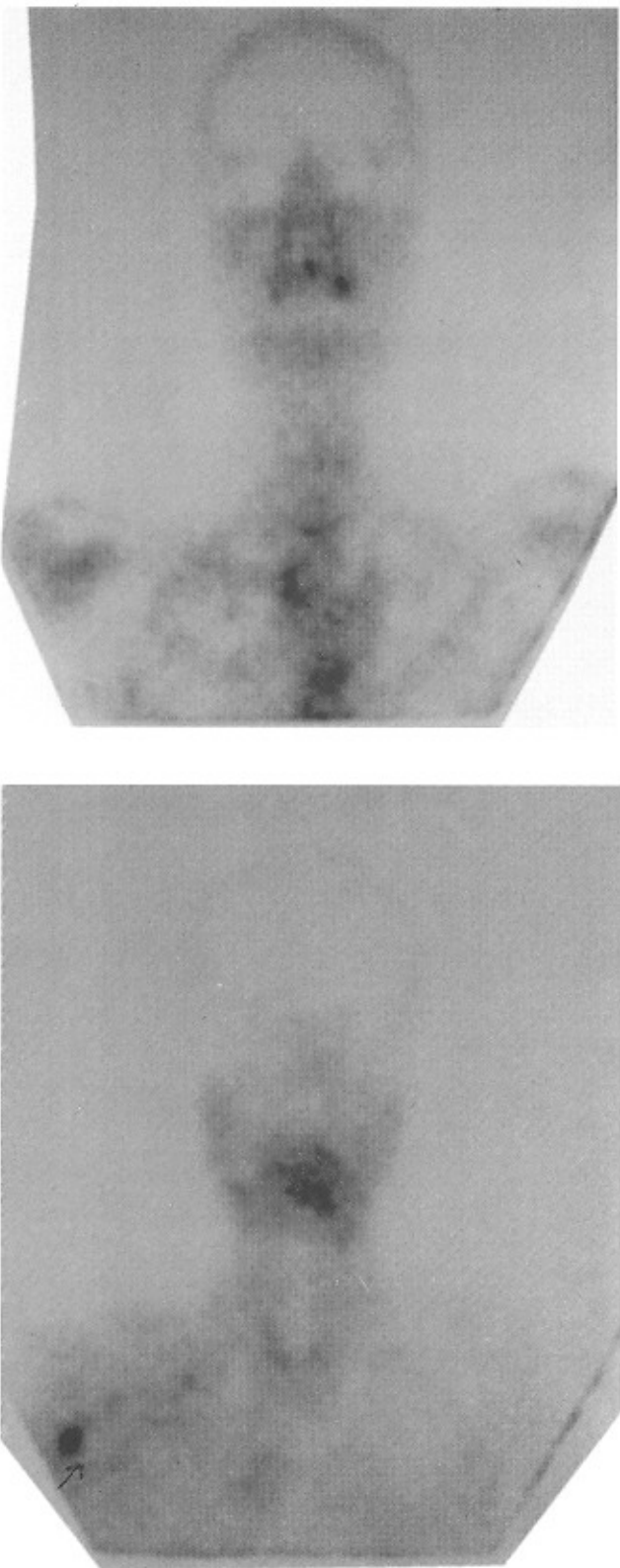
بیشتر به فکر تومور اولیه استخوان و سایر ضایعات بود. اسکن استخوان که با $^{99m}\text{Tc}-\text{MDP}$ انجام می‌شود علاوه بر تشخیص متاستاز جهت ارزیابی پاسخ به درمان نیز بکار می‌رود (۳).

$^{99m}\text{Tc}-\text{MIBI}$ یک کانیون لیبوفیلیک است که "عمدتاً" در مطالعات پرفیوزن قلب از آن استفاده می‌شود و اخیراً "عنوان یک ماده نشانگر تومور بکار رفته است (۴)". در یک مطالعه که در اسرائیل انجام شده حساسیت و ویژگی این اسکن در تشخیص ضایعات بد خیم استخوان به ترتیب ۸۱٪ و ۸۷٪ بوده است. امتنابه اصلی این اسکن بالا ارزش اخباری منفی آنست (Negative Predicative Value)، گرچه قادر نیست به عنوان آزمایش قطعی در تومورهای بد خیم جایگزین پوسی شود (۲). همچنین از $^{99m}\text{Tc}-\text{MIBI}$ در یافتن زود رس توده‌های بد خیم پستانی استفاده شده است (۵,۶).

مقدمه

متاستاز به استخوان از عوارض مهم و ناتوان کننده سرطان می‌باشد. از آنجاییکه تشخیص سریع و اولیه متاستازها و درمان به موقع آنها بخصوص در ستون فقرات از عوارض ناتوان کننده این بیماری (نظیر شکستگی های پاتولوژیک، فشار روی نخاع و خطیر فلچ و) پیشگیری می‌کند، تشخیص آن در اولین مراحل از کمال اهمیت برخوردار است. متاستازهای استخوانی عموماً در بخش فعال و خونساز مغز استخوان (Red Bone Marrow) رخ می‌دهند و منبع اصلی این نوع بافت در بالغین، ستون مهره هاست. معهدها دیگر مناطقی که بطور اولیه درگیر می‌شوند عبارتند از لگن، دنده‌ها، استرنوم، جمجمه و بخش‌های پروگریمال استخوانهای بازو و ران (۱,۲).

رادیو گرافی ارزانترین و آسانترین آزمایش در تشخیص متاستاز استخوان است. مشخصه متاستاز



شكل ۱- در اسکن $^{99m}\text{Tc}-\text{MDP}$ و $^{99m}\text{Tc}-\text{MIBI}$ هر دو ضایعه تومورال در سمت راست توراکس مشخص شده است ولی شدت جذب در اسکن $^{99m}\text{Tc}-\text{MDP}$ واضح‌تر است.

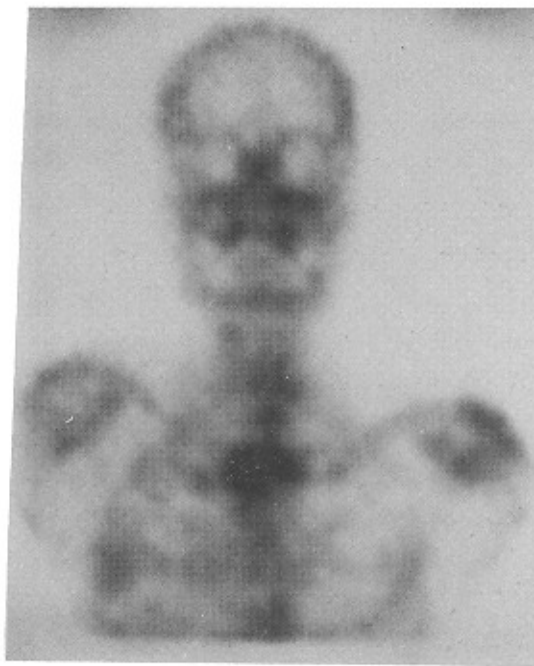
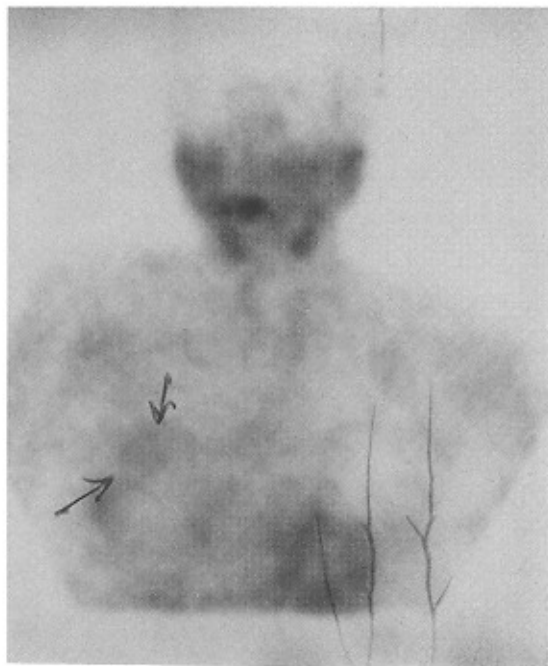
در بررسی دیگر دیده شد جذب - $^{99m}\text{Tc}-\text{MIBI}$ در سلول‌های تومورال ۴ برابر بیشتر از بافت طبیعی است (۷).

مواد و روش کار

در این مطالعه در یک دوره زمانی شش ماهه (از دیماه ۷۹ تا خرداد ۸۰)، از بین بیمارانی که دارای سابقه قطعی بیماری بدخیم بوده و برای بی‌گیری به بیمارستان جرجانی آمده بودند، تعداد ۲۲ نفر (۱۸ زن و ۴ مرد) سن ۱۰ تا ۷۸ (میانگین سنی ۴۴ سال) با پاتولوژی‌های مختلف انتخاب شدند. تمام بیماران بدلیل درد ناشی از متاستاز استخوانی مراجعه کرده بودند و در همگی تشخیص بدخیمی اولیه با بیوپسی ثابت شده بود. تمام بیماران انتخاب شده با درد جدید استخوان مراجعه کرده بودند که در معاينه محل مذکور تندرنیس واضح داشته و بیمار، سابقه درد مزمن تواхی موردنظر را نمی‌داد. در موارد مشکوک، ابتدا از محل درد رادیوگرافی تهیه شده و بیماری‌های درزناکیو رود می‌گردید. هیچیک از آنها پس از وقوع درد جدید استخوانی، درمان با رادیوتراپی یا شیمی درمانی نشده بودند. پاتولوژی‌های مورد بررسی عبارت بودند از: Small Round Cell Tumor، سرطان بروستات، سرطان نازوقارنیکس و مولتیپل میلوم. چون هدف اصلی تعیین میزان هماهنگی یافته‌های دو نوع اسکن در تشخیص کلی ضایعات متاستاتیک بود، عمدتاً مطالعه بر روی جند نوع پاتولوژی مختلف و با روش Prospective تزریق داخل وریدی ۱۳ تا ۲۵ میلی کوری - $^{99m}\text{Tc}-\text{MDP}$ قرار می‌گرفت و پس از گذشت ۳ تا ۴ ساعت Post Ant و Spot View در دو نمای Plannar از استخوانهای بدن وی تهیه می‌شد. دستگاه آشکار ساز این مطالعه یک دستگاه گاما کمراه Scintronix مدل High Resolution بود. هر تصویر با روش استانداریک و بطور متوسط با ۵۰۰ تا ۱۰۰۰ کیلوکات گرفته می‌شد. آنگاه به فاصله زمانی یک هفته بعد، بیماران مجدداً مورد بررسی تمام بدن باین بار با $^{99m}\text{Tc}-\text{MIBI}$ تزریق شد. فرار می‌گرفتند. ۹۹mTc می‌گرفتند. بین ترتیب که مقدار ۱۰ تا ۲۰ میلی کوری - MIBI به صورت بولوس داخل وریدی تزریق و تصاویر کامل بدن به فاصله نیم تا یک ساعت بعد گرفته می‌شد (حدود ۲). یافته‌های اسکن استخوان با توجه به وجود درد جدید استخوانی و محل حساسیت موضعی ذکر شده مورد تفسیر قرار گرفت و بعض‌ا تغییرات ثانوی مربوط به

اساں نظر توافقی بر حسب شدت جذب به ۱+ (خفیف)، ۲+ (متوسط) و ۳+ (شدید) تقسیم بندی گردید. نهایتاً "باشه های دو اسکن ^{99m}Tc -MIBI و ^{99m}Tc -MDP در هریک از بیماران با یکدیگر، مورد مقایسه قرار گرفت (شکل ۲ و ۱).

شکستگی های تروماتیک قبلی با ضایعات دزتراتیو در اسکن استخوان از فهرست یافته های اسکن استخوان حذف شدند (در صد توافق داده ها با استفاده از آمار کاپا بدست آمد). در مرحله بعدی یافته های غیر طبیعی اسکن ^{99m}Tc -MIBI به دقت توسط دو نفر از اساتید پزشکی هسته ای مورد ارزیابی قرار گرفته و به صورت کیفی بر



شکل ۲- اسکن ^{99m}Tc -MIBI نما یانگر فاصله پنهان بافت نرم (غده لنفاوی) است که در اسکن ^{99m}Tc -MDP مشخص شده است.

تنها در ۷/۶۳۱۳ موارد (۱۴ بیمار از ۲۲ بیمار) با اسکن ^{99m}Tc -MDP در کشف ضایعات استخوانی مطابقت داشت و میزان مطابقت نیز حداکثر ۷/۴۴/۴ (۲۴ ضایعه از ۵۴ ضایعه) بود. میانگین شدت جذب حدود ۱/۵ (خفیف تا متوسط) بود. محل ضایعات نسج نرم عمدها "در گره های لنفاوی و میانگین شدت جذب ۲+ (متوسط)" بود. بعلت کم بودن تعداد نمونه در پاتولوژی های مورد بررسی نفاوت معنی داری بین نتایج فوق بر حسب تومور اولیه محسوس نبود.

در این مطالعه ۱۴ مورد از ۲۲ مورد، افزایش جذب ^{99m}Tc -MIBI را نشان دادند که میانگین شدت ^{99m}Tc -MIBI از ۱/۵+ بود. در ۹ مورد اسکن ^{99m}Tc -MIBI هیچگونه افزایش جذب در محل ضایعات متاستاتیک استخوان نشان نداد. از این ۸ نفر، ۵ نفر مبتلا به سرطان

نتایج

همانگونه که انتظار می رفت ضایعات کشف شده در اسکن استخوان، اکثراً محدود به اسکلت محوری (ستون فقرات و لگن) بودند. بجز دو بیماری که به صورت Superscan و با ضایعات بیشتر در اسکن مشخص شدند، میانگین تعداد ضایعات کشف شده در اسکن استخوان ۲/۲ بود. از ۲۲ بیمار تحت بررسی که داری اسکن مشتبه استخوان (^{99m}Tc -MDP) بودند، در ۸ بیمار اسکن تمام بدن با ^{99m}Tc -MIBI ضایعه غیر طبیعی در استخوان نشان نداد. از ۱۴ بیمار دارای اسکن ^{99m}Tc -MIBI مشتبه، ۸ بیمار فقط ضایعات استخوانی، ۲ بیمار فقط ضایعات بافت نرم و ۴ بیمار هم ضایعات استخوانی و هم ضایعات بافت نرم داشتند. لذا اسکن ^{99m}Tc -MIBI

اسکن استخوان با 99m Tc-MDP آزمایشی بسیار حساس است، اما کمتر اختصاصی است و دقیقاً "نمی تواند بین ضایعات خوش خیم و بد خیم افتراق قائل شود. اخیراً چندین مطالعه ارزش 99m Tc-MIBI را در ارزیابی و یک گیری بد خیمی های متاستاتیک استخوان نشان داده اند (۸ و ۹)، تجمع 99m Tc-MIBI سنتگی به حیات سلولی و شرایط متابولیک آن دارد.

در یک بررسی در اسرائیل توسط آقایان Pinkas و Robinson و همکاران بروی ۳۱ بیمار مبتلا به تومورهای بد خیم عضلانی - اسکلتی، ۲۵ بیمار افزایش جذب 99m Tc-MIBI را نشان دادند. در ۳ مورد جذب 99m Tc-MIBI دیده نشده و در ۳ مورد دیگر افزایش جذب خفیف وجود داشت که ۴ مورد از آنها ضایعات Poorly Dif. و ۱ مورد سارکوم فیبرومیسکوئید و یک مورد لیپوسارکوم بود (۳).

یکی از دلایل ذکر شده در مورد عدم جذب 99m Tc-MIBI در تومورهای بد خیم، وجود غلظت بالای گلیکوپروتئین P در سلولهای می باشد (۱۰ و ۱۱). براساس نتایج مطالعه حاضر به نظر میرسد در بررسی متاستازهای استخوانی، اسکن استخوان با 99m Tc-MIBI در مقایسه با اسکن 99m Tc-MDP های بیشتری را نشان می دهد و اهمیت اسکن 99m Tc-MIBI "عمدتاً" در کشف ضایعات بافت نرم است.

پستان (۲ بیمار با ضایعه استخوانی منفرد و ۳ بیمار داری ضایعات استخوانی متعدد)، ۲ بیمار مبتلا به مولتیپل میلوم و یک بیمار مبتلا به سرطان پروستات (با ضایعات 99m Tc متعدد استخوانی) بود. بیشترین شدت جذب 99m Tc MIBI در یک بیمار مبتلا به سرطان پروستات در مناطق جمجمه، L5، دنده و اسکالپولا و دیگری مبتلا به سرطان پستان در نواحی جمجمه و جناغ بود. همچنین در نواحی بافت نرم ("عمدتاً" در محل گره های لنفاوی) در ۳ بیمار افزایش جذب شدید و در سه بیمار دیگر افزایش جذب خفیف تا متوسط به چشم میخورد.

بحث

رادیوگرافی ساده استخوان، روش پایه تشخیص ضایعات استخوانی است، اما محدود به مواردی است که تخریب استخوانی با گسترش به بافت نرم وجود دارد و در نشان دادن مکان ضایعه قبل از بیوپسی و مرحله بندی (Staging) مفید است.

اسکن و MRI خصوصیات مورفولوژیک را بخوبی نشان می دهد، با این حال استفاده از روشهای رادیونوکلئید برای تشخیص قبل از عمل تومورهای عضلانی اسکلتی، مزایای زیادی بر CT و MRI و اسکن دارند، مثل ارزش اقتصادی، فقدان عوارض جانبی و توانایی نشان دادن عملکرد عضوو... .

شماره	نوع بیماری	تعداد بیماران
۱	سرطان پستان	۱۵
۲	سرطان پروستات	۲
۳	سرطان نازوفارنیکس	۱
۴	Small Round Cell T.	۲
۵	مولتیپل میلوم	۲

((جدول ۱))

نوع و تعداد پاتولوژیهای مورد بررسی

مناستار بافت نرم (تعداد بیماران)		مناستار استخوان (تعداد بیماران)		تعداد بیماران	پاتولوژی اولیه
MIBI	اسکن ثبت	MIBI	اسکن ثبت		
۴	-	۱۱	۱۵	۱۵	کارسینوم پستان
-	-	۱	۲	۲	کارسینوم بروستات
۱	-	-	۱	۱	کارسینوم نازوفارنکس
۲	-	۲	۲	۲	Small Round Cell T.
-	-	-	۲	۲	مولتیپل ملیوم

((جدول ۲))

تعداد بیماران دارای مناستار استخوان و بافت نرم در اسکن استخوان و اسکن MIBI

تعداد بافته های اسکن MIBI				تعداد ضایعات استخوان در اسکن استخوان	پاتولوژی اولیه	ردیف
شدت حدب	شدت جذب نرم	ضایعات بافت	ضایعات استخوان			
		۱+	L1	۳	سرطان پستان	۱
۲-	سوبراکلاویکولار	۱+	شانه چپ	۳	سرطان پستان	۲
۳+	پایین گردن	۱+,۱+,۲+,۲+	جمجمه، استرنوم، دنده های راست	بیش از ۷	سرطان پستان	۳
۱+	بالای مدیاستن راست	+1	L4	۱	سرطان پستان	۴
		۲+,۱+,۱+	T12، دیواره قفسه سینه مفصل ساکروایلیاک	۵	سرطان پستان	۵
		۱+,۱+,۱+	T10, T11 ساکروایلیاک	۶	سرطان پستان	۶
		۱+	مفصل هبی چپ	۲	سرطان پستان	۷
		۱+	همی پلوس	۴	سرطان پستان	۸
		۱-,۱+,۱+	T3, T11, T8	۷	سرطان پستان	۹
		۲+	جدار قفسه سینه	۱	سرطان پستان	۱۰
		۳+,۳+,۳+,۳+	اسکابولا، L5، دنده، پره اور بیست	بیش از ۷	کارسینوم بروستات	۱۱
۲-	آتریلا			۷	نازوفارنکس	۱۲
۲-	بالای مدیاستن			۱	Small Round Cell T.	۱۳
۱+	بالای مدیاستن	۲+	جمجمه	۳	Small Round Cell T.	۱۴

"جدول ۳" - بافته های اسکن ^{99m}Tc - MIBI بر حسب محل و شدت

منابع

- 1- Perez CA and Brady LW. principle and practice of radiotion Oncology. Third edition 1997, lippincot, Philadelphia.
- 2- Vincent D , Smauel HJ , Steven R. Cancer principle and practice of Oncology – Fifth edition , 1997 Philadelphia.
- 3- Pinkas L, Robinson D et al, 99m – Tc- MIBI Scintigraphy In Musculo skeletal Tumors, The Journal of Nuclear Medicine , January 2001 , 33-37
- 4- Chiu ML, Kranauge JF, Piwinica – Wormy D . Effect of Mitochondrial And Plasma Membrane Potiential Of Accumulation of MIBI, J Nucl Med 1990; 31: 1646–1653.
- 5- Carlo L. Maini Francesco de Nataristefani et al. J Nucl Med. 1999; 40(1):46 – 51
- 6- Varrella LS, Tc-99m Sestamibi Scintigarphy in The Diagnosis Of Primary breast Cancer J Nucl Med 1994; 35:79 – 82
- 7- Khalkhali. L , Review of Imaging Techniques For The Diagnosis Of breast Cancer: A new role of prone scintimammography using 99m Tc – MIBI. J. Nucl. Med. 21 : 357- 362 , 1994
- 8- Adalt et al , comparison of Tc-99m MIBI and Tl 201 uptake in musculoskeletal lesion. Clin Nucl Med 1996 ; 21 : 118 –121
- 9- Cancer B.et al Tc-99m MIBI uptake in benign and malignant bone lesion ; a comparative study with Tc-99m MDP J Nucl Med 1992 ;33: 319 –312
10. Jaovisidha S, et al An integrated approach to evaluation of osseous tumors.Orthop Clin North Am. 1998; 29: 19–39
11. Try Ciecky Ew, Ludema K, Oncologic imaging interaction of nuclear medicine with CT and MRI using the bone Scan as a model. Semin Nucl Med. 1997; 27: 142- 151